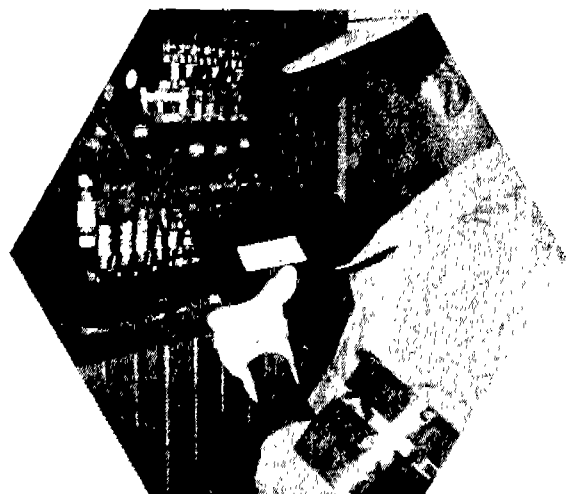


電氣使用合理化 技法



— 4 —

大韓電氣協會 調查部 제공

제 5 절 其他設備

1. 空調設備 (표 1 참조)

2. 昇降機 (그림 1 참조)

가. 制御方式의 改善에 의한 에너지 節減

(1) 直流 엘리베이터

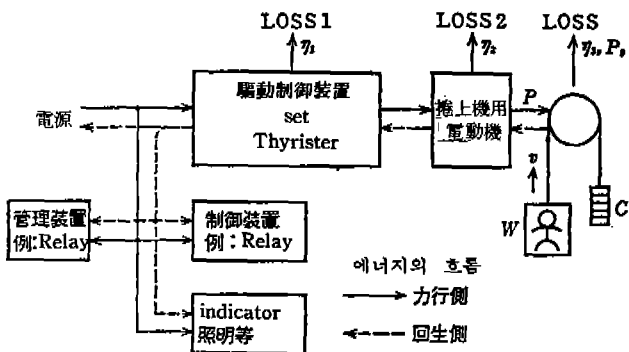
直流 엘리베이터는 大別하여 MG方式과 대다수

〈표 1〉 공조설비

| 시스템 要素 | 에너지 節減方法 | 檢討 要 素 |
|---------|---|---|
| 熱 源 시스템 | 器 機 高效率機器의 採擇 熱媒條件의 優化 臺數分割運轉 | 效率 COP의 設定 冷水溫度上升, 溫水溫度下降 蒸氣壓力, 溫水溫度 내리기 負荷變動에 적합한 臺數分割 |
| 蓄熱 시스템 | 蓄熱效率의 向上 利用溫度差를 적게 잡음 適用 높이의 檢討 動力回收 펌프 蓄熱 運轉時間의 設定 潛熱蓄熱 蓄熱槽壁의 斷熱 | 槽內 플로우 패턴 連通管位置 二次側水溫差 는 크게 잡는다. 層高 120m 程度 以下까지 有效 輕負荷運轉時 效率을 檢討 深夜電力利用 蓄熱機의 檢討, 年間 热損失의 檢討 |
| 熱回收 시스템 | 조닝의 採擇 個別 또는 中央方式 | 暖房負荷와 室內發熱의 ベラン 熱 펌프, 유닛, 더블밴드, 冷凍機 파인 發生熱의 放熱方法 補助熱源의 必要性 有無 |

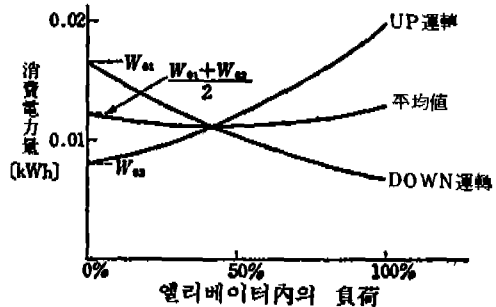
| 시스템 요소 | | 에너지 절감方法 | 검討要素 |
|----------|--|--|---|
| 空調 시스템 | 全熱교환기 방식 외기냉방 방식 | 전체 열교환기 형식의 결정 활용 가능한 배기의 선택 건조 온도 제어 또는 엔탈피 제어 | 정지式인가 회전式인가 오염물질 오염의 이동 검토 aire 조건에 의한 검토 |
| 搬送 시스템 | 조닝 공조 방식 | 적절한 조닝의 선택 공조 구역의 제한 搬送 열媒의 혼합 방지 재온 방식의 회피 에너지 절감형 공조 시스템의 검토, 열원 기기 정지에 의한 방법 실내排熱의有效利用 豫冷負荷의削減 蓄熱方式의採擇 | 열 부하 편향 운전 시간대 등에 의한 조닝의 결정 동시 냉난방의 방지 장소별 공조 선택 여부 3관식·双重밸브 방식의 不採擇 실내 온도 조건의 검토 VAV 방식 水→공기 방식 유니티리 방식의採擇 외기냉방 전열교환기 방식 열 회수 방식의採擇의 검토 나이트퍼지 방식의採擇 (열원 시스템 항목 참조) |
| 搬送 시스템 | 자동 제어 | 과열·과열 방지 unnecessary 시스템의 운전 중지 각종排·廢熱의 利用 | 개별 제어의徹底화 인터루크린 회로의採擇 외기냉방 전열교환기에의 自動交換의採擇 |
| 搬送 시스템 | 搬送热媒 flow削減 | 搬送 효율이 높은热媒의採擇(空기→수증기·냉媒) 大气 온도 차의採擇 | 水→공기 방식, 팬코일 유닛 방식, 辐射冷暖房方式의採擇 二次側利用 온도의限界 검토(除湿性能·快適感 등) |
| 搬送 시스템 | 流量制御方式 | 변流量方式의採擇 臺數分割 운전 | VAV·VWV 방식의採擇 VAV 유닛 제어·제어 벨브 2개 벨브의採擇 실내 기류 분포(VAV 방식)의 검토, 热量制御·압력制御方式等의 검토 |
| 器機特性 | 高効率器機의採擇 部分負荷運轉 | | 회전수 제어 입구 앤퍼 벨브 제어 |
| 管路系 | 低流速·低마찰損失設計, 부스터 方式의採擇, 热损失의 방지, 密閉配管 시스템의採擇 | | 遠隔·小流量 촌은 부스터 펌프 부스터 팬으로 처리, 백트 랙·밸브의 단열 두께 검토, 空氣热媒의 누설 防止 |
| 自動制御 시스템 | 室内温湿度調節器 제어 벨브, 제어 앤퍼 | 適正溫濕度의 設定 溫濕度制御範圍의 확대 과대한 壓力 loss가 생기지 않는 것을採擇 閉鎖時의 누설 防止 | 설치 장소의選定, 과열·과열 방지, RH 30~70%에서는 非制御 압력·제어 특성의 검토 누설 안되는 벨브 앤퍼의採擇 |
| 最適制御 시스템 | 피크카트 피크시프트 法의採擇, 인터루크린 회로의採擇 熱量計測制御 | | 器機容量의削減 운전 중지 촌의構成器機 인터루크린 회로의採擇 熱源器機의 運轉制御 |
| 計測 관리 | 환경·流量·에너지 計量 에너지 計量 상태 監視 | | 室内温湿度 計測 水量, 蒸気量, 热量, 電力量, 温度(水, 空氣), 壓力(水蒸气, 冷媒), 電力(電流, 電压) |

〈Rope式 Elevator의 Energy의 흐름〉



〈엘리베이터의 運轉과 消費電力量〉

(昇降行程 6m)



Elevator用捲上機所要出力 P [kW] (定常走行時)

$$P = \frac{(1-C) \times W \times v}{6120 \times \eta_3} + P_0$$

C : 平衡率

W : Elevator 定格容量 (kg)

v : Elevator 定格速度 (m/min)

η_3 : 機械系効率

Gearless Elevator 0.8~0.85

Geard Elevator 0.85~0.72

P_0 : 捲上機無負荷損失

Gearless Elevator ≈ 0

Geared Elevator 0.75~1.5 kW

〈그림 1〉 승강기

리스터 方式으로 나눈다. 디아리스터 레오나드 方式은 디아리스터를 利用하여 交流를 直接 直流로 變換하기 때문에 變換效率이 MG 方式에 比하여 매우 훌륭하다. 이러한 點에서 最近에는 디아리스터 方式으로 代替되고 있다. 이에 따른 에너지 節減效果는 약 25%이다.

이러한 觀點에서 最近에는 制御用, 管理用 裝置를 릴레이에서 마이컴으로 代替하여 消費電力量을 줄이고 엘리베이터 停止時는 電動機 界磁電流를 차단시켜 捲上電動機部에서의 消費전력을 줄임으로써 綜合的으로 MG 方式에 比하여 35%의 에너지 節減效果를 가져오고 있다.

(2) 交流 엘리베이터

近年에 마이컴을 交流歸還方式의 規格形 乘用 엘리베이터에 導入하여 솔리드 制御 시스템이 出現하고 있다.

이 마이컴은 從前 電磁 릴레이에서 하던 엘리

베이터의 시퀀스 制御의 大部分을 實行하고 또 乘客이 없을 때 内部照明의 自動消燈, 換風機의 自動休止等의 制御를 同時に 最適速度指令值를 發生시킬 수 있어 消費電力量을 줄이고 表示燈은 低電力 네온램프를 채택하고 機械의 輕量化에 의한 慣性을 줄여 從前方式보다 約 20%의 電力節減을 이루게 되었다.

(3) 油圧 엘리베이터

油圧 엘리베이터의 消費電力量은 그 大部分이 起動電動機가 占有하고 있으며 그의 에너지 節減方式에 있어서는 다음 事項에 유의하여야 한다.

- ① 自重을 줄여 押上荷重을 줄인다.
- ② 圧力損失이 적은 밸브 사이렌서 等의 器機를 쓴다.
- ③ 油圧 펌프를 가장 效率이 좋은 圧力 및 流量範圍에서 사용한다.

나. 管理方式의 改善에 의한 에너지 節減

(1) 不必要한 走行의 減少

(2) 엘리베이터의 休止

① 自動休止運轉

② 運轉대수의 自動制御

(3) 消費電力의豫測

① 消費電力의豫測에 의한 消費電力最小運轉

② 乘客 서비스로 配慮한 消費電力 最小運轉

3. 電氣爐

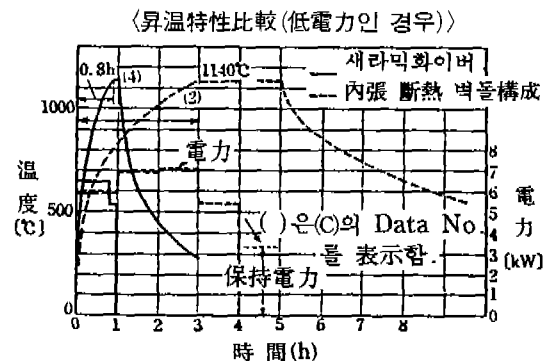
가. 抵抗加熱爐의 에너지 節減

加熱爐의 效率을 올리려면 热損失率을 低減하면 된다. 加熱爐일 경우一般的으로 热損失은 爐溫, 耐火物의構成에 의하여 거의 決定된다. 投入電力を 늘리면 損失率이 줄어든다. 따라서 加熱昇溫을 目的으로 할 때는 에너지 節約上 加熱電力を 증대시키는 것이 매우 有效한手段이 된다. 實際로 電力を 增大시키는 것은 短時間加熱을 하게 되는 것으로 加熱 生產量을 증대시켜 爐의 生產量을 增加시키게 되는 것이다(그림 2).

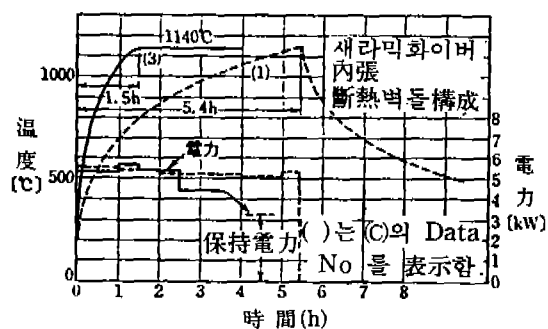
나. 誘導爐의 에너지 節減

도가니形 誘導爐에서의 單位 溶解重量當消費電力은 다음과 같다.

$$Q = \frac{N\alpha e_0}{(N\alpha - N_0)\eta_e \times \beta \times \eta_f \times \eta_t} [\text{kWh}]$$



〈昇温特性比較(低電力인 경우)〉



〈그림 2〉

N : 定格爐入力 [kW]

N₀ : 保溫電力 [kW]

e₀ : 理論溶解 昇温 에너지 [kWh/t]

α : 平均投入電力を 내기 위한 係數로 殘湯量에 의하여 決定

β : 平均電氣效率을 내기 위한 係數로 殘湯量에 의하여 決定

내가 끈 電燈 한 燈 다음 世代 밝혀준다

〈표 2〉 아크 熔接法과 熔接機 定格出力

| 아크 溶接法 | 溶接機 | 定格出力電流 | 定格出力 [kVA] | | | |
|--------|-----------------|--------|------------|------|------|-------|
| | | | 150A | 300A | 500A | 1000A |
| 被覆 아크 | 標準形 交流아크 溶接機 | 11 | 24 | 43 | - | |
| | 高力率形 交流아크 溶接機 | 8 | 20 | 35 | - | |
| 炭酸ガス아크 | 炭酸ガス 半自動아크 溶接機 | 6 | 15 | 28 | - | |
| 노가스아크 | 交流노가스 半自動아크 溶接機 | - | - | 43 | - | |
| TIG | 三相直流 TIG 溶接機 | 5 | 12 | 23 | - | |
| | 單相交直兩用 TIG 溶接機 | 12 | 24 | 40 | - | |
| 플라스마 | 三相直流 플라스마 溶接機 | - | 18 | 32 | - | |
| 서브머지 | 交流 서브머지아크 溶接機 | - | - | - | 90 | |
| | 三相直流 서브머지아크 溶接機 | - | - | - | 73 | |

η_e : 爐 코일 및 水冷 케이블의 電氣效率

η_f : 周波數變換器의 效率

η_t : 變壓器 콘덴서 리액터 配線材에서의 消費
를 考慮한 係數

以上에 대하여 에너지 節減方法 項目을 열거
한다.

- (1) 爐入力(N)을 높 수 있는 대로 높게 한다.
- (2) 保温電力(N_0)를 적게 한다.
- (3) α 및 β , 즉 平均投入電力과 平均電氣效率
을 높여 操業한다.
- (4) 爐의 電氣效率(η_e)을 높인다.
- (5) 周波數 變換效率(η_f)을 높인다.
- (6) 電氣用品 配線材에서의 消費電力의 低減
- (7) 理論溶解 昇溫 에너지를 적게 한다.
- (8) 昇溫後의 ロ스타임의 短縮과 ロ스타임中의
損失低減

(9) 操業停止中의 保温電力의 低減

(10) 溶湯 燒結方法의 採擇

(11) 集塵裝置를 設置할 때의 配慮

(12) 스타팅 블록 製作에 對한 配慮

(13) 補機用 電動機에 對한 配慮

4. 熔接機

가. 아크 熔接機의 定格入力

아크 熔接機가 需要로 하는 電源變壓器 容量

은 그 용접기의 定格入力에 비례한다.

熔接法에서는 TIG 熔接, 炭酸 가스 아크 熔接,
플라스마 熔接이 有利하고 交流 아크 熔接機에서는
高力率形이 有利하다. 또 交直兩用 TIG熔接
機의 定格人力이 큰 것은 本機가 피복아크 熔接
과의 擊用이기 때문이다.

나. 熔接 케이블에 의한 電力損失

熔接 케이블 10m 當의 사용전류치 亂 電力損失
을 表 3에 표시한다.

例를 들면 60mm^2 의 케이블을 往復 50m 使用
하여 熔接電流 400A 1日 4時間 通電, 1個月
20日 作業하면

$$0.48 \times 5 \times 4 \times 20 = 192$$

즉, 月當 192kWh의 電力 損失이 된다.

〈表 3〉 케이블 10m 當 電力損失

| 種類 | 使用電流 断面積 [mm^2] | 10m 當 電力損失 [kW] | | | |
|---------------|-------------------------------|-----------------|-------|-------|------|
| | | 100A | 200A | 300A | 400A |
| 케이 溶接 | 22 | 0.084 | 0.336 | 0.56 | 1.34 |
| 이 溶接 | 68 | 0.05 | 0.20 | 0.45 | 0.80 |
| 블 溶接 | 60 | 0.3 | 0.12 | 0.27 | 0.48 |
| | 100 | 0.018 | 0.17 | 0.162 | 0.28 |
| 케이 水 溶接 | 8 | 0.24 | 0.96 | 2.16 | 3.84 |
| 이 水 溶接 | 16 | 0.48 | 1.92 | 3.84 | 6.40 |

〈표 4〉 熔接 길이 1m 當 消費電力

| 板 두께 [mm] | 아크 溶接法 | 배스數 | 心線徑 [mm] | 電流 [A] | 電壓 [V] | 速 度 [cm / min] | 消費電力 [kWh / m] |
|--------------|---------|-----|-------------|-----------|-----------|-------------------|-------------------|
| 3.2 | 被 覆 아 크 | 11 | 3.2 | 110 | 23 | 20 | 0.26 |
| | 炭酸가스아크 | 11 | 1.2 | 120 | 20.5 | 28 | 0.18 |
| | TIG | 11 | - | 150 | 13 | 15 | 0.27 |
| | 플라 스 마 | 11 | - | 100 | 33 | 40 | 0.17 |
| 25 | 被 覆 아 크 | 2 | 4 | 160 | 26 | 20 | 16.1 |
| | | 25 | 5 | 230 | 28 | 22 | |
| | 炭酸가스아크 | 8 | 1.2 | 320 | 32.5 | 28 | 6.2 |
| | 노가스아크 | 8 | 3.2 | 450 | 31 | 27 | 8.6 |
| | 서 브 머 지 | 4 | 4 | 800 | 24 | 50 | 4.6 |
| | | | | 750 | 35 | 50 | |
| | | | | 900 | 24 | 40 | |
| | | | | 900 | 35 | 40 | |

〈표 5〉 스폳 熔接 1000點當 消費電力

| 板 두께 [mm] | 溶接條件 | | | | 使用溶 接機 定置式 | 消費電力 [kWh/1000點] | | |
|-----------------|------|-------------|---------------|-------------|------------------|------------------|----------|-----------|
| | 급 | 溶接電流 [A] | 通電時間 [sec] | 加圧力 [kg] | | 25kVA | 50kVA定置式 | 55kVA 휴대용 |
| 1.0 | A | 8,800 | 10 / 60 | 225 | 0.75 | 0.71 | 4.11 | |
| | B | 7,200 | 20 / 60 | 150 | 1.00 | 0.94 | 5.51 | |
| | C | 5,600 | 36 / 60 | 75 | 1.08 | 1.03 | 5.97 | |
| 1.6 | A | 11,500 | 16 / 60 | 360 | 2.06 | 1.94 | — | |
| | B | 9,100 | 30 / 60 | 240 | 2.41 | 2.26 | — | |
| | C | 7,000 | 52 / 60 | 115 | 2.48 | 2.32 | — | |

熔接 케이블은 될 수 있는限 短게 使用하여
야 되겠다.

다. 熔接 길이 1m 當의 消費電力

鋼材를 對象으로 한一般的으로 사용되는 아크 熔接法에 의하여 板 두께 3.2mm 및 25mm의 代表의인 熔接條件에서 算出한 熔接 길이 1m 當 算定消費電力を 表 4에 표시한다.

얇은 板에서는 플라스마 熔接, 炭酸가스 아크 熔接이 有利하고 두꺼운 板에서는 서브머지 아크 熔接, 炭酸 가스 용접이 유리하다. 熔接機 效率은 0.8로 하였다.

라. 스폳 熔接 1,000點當의 消費電力

銅板의 스폳 熔接으로 板 두께 1.0mm 및 1.6mm를 對象으로 熔接條件別 熔接機別로 算出한 1,000點當 消費電力を 表 5에 表示한다. 計算에서 熔接機의 負荷 임피던스를 定置式 스폳에서는 短絡 임피던스의 1.1倍, 포터블 스폳에서는 같은 값으로 하였다.

熔接條件에서는 高級條件일수록 消費電力이 적고 熔接機에서는 포터블 스폳 熔接機보다 定置式 스폳 熔接機가 有利함을 알 수 있다.

(連載 끝)